

УДК 539.3

© 2006 г. В.М. АЛЕКСАНДРОВ, Д.А. ПОЖАРСКИЙ, В.В. ТРЕПАЧЕВ

## КОНТАКТНАЯ ЗАДАЧА ДЛЯ КОНИЧЕСКОГО КЛАПАНА

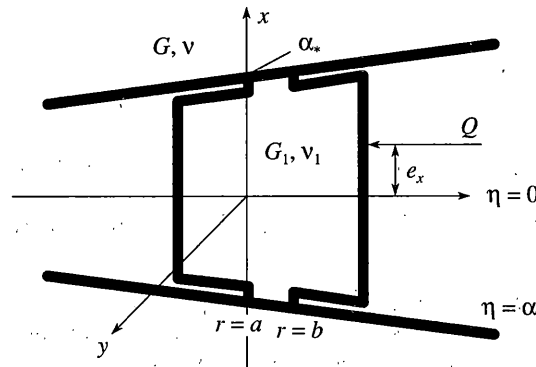
Получено интегральное уравнение пространственной контактной задачи для упругого конического клапана, находящегося в конической полости в упругом пространстве. При решении этого уравнения используются регулярный и сингулярный асимптотические методы с введением безразмерного параметра, характеризующего относительную удаленность области контакта от вершины конической полости. Полученные асимптотики перекрывают весь диапазон изменения этого параметра. Решение трехмерной задачи о равновесии кругового конуса основано на разложении векторных функций по полной системе векторных гармоник на поверхности конуса при помощи интегрального преобразования Меллина и рядов Фурье [1].

Асимптотические методы [2, 3] использовались ранее [4] при решении контактной задачи о жестком кольцевом бандаже на упругом конусе. Пространственная контактная задача для конуса с неизвестной областью контакта рассматривалась [5] при помощи нелинейных граничных уравнений. Особенности контактных давлений в конической точке изучались для случаев, когда на эту точку выходят кончики нескольких клиновидных штампов [6] или один клиновидный штамп [7].

**1. Постановка задачи.** В сферической системе координат  $r, \eta, \phi$  рассмотрим упругое пространство с упругими характеристиками  $G$  (модуль сдвига) и  $v$  (коэффициент Пуассона), имеющее коническую полость  $\{r \in (0, \infty); \eta \in (0, \alpha)\}$ . В полость вставлен упругий конический клапан с упругими характеристиками  $G_1, v_1$ . Силы трения между клапаном и полостью не учитываем. Область контакта  $\Omega$  описывается условиями  $a \leq r \leq b, \eta = \alpha, 0 \leq \phi \leq 2\pi$ , а форма основания клапана в области контакта – функцией  $f(r, \phi)$ . Под действием внешней силы  $Q$ , параллельной оси конической полости, клапан испытывает поступательное перемещение  $\delta$  (перпендикулярно поверхности полости), а также поворачивается на углы  $\alpha_*$  и  $\beta_*$  вокруг осей  $u$  и  $x$ , лежащих в плоскости, перпендикулярной оси конической полости и линии действия силы  $Q$  (фигура). Требуется найти распределение нормальных контактных напряжений под клапаном  $\sigma_\eta(r, \alpha, \phi) = q(r, \phi), (r, \phi) \in \Omega$ . Затем при помощи трех интегральных условий равновесия клапана можно установить связь между величинами  $Q$  и  $\delta$ ,  $e_x$  и  $\alpha_*$ ,  $e_y$  и  $\beta_*$ , где  $e_x$  и  $e_y$  – проекции точки приложения вдавливающей силы  $Q$  на оси  $x$  и  $y$ .

Разложим функции  $q(r, \phi)$  и  $\delta(r, \phi) = \delta + \alpha_* r \sin \alpha \cos \phi + \beta_* r \sin \alpha \sin \phi - f(r, \phi)$  в ряды Фурье:

$$q(r, \phi) = q_0(r) + 2 \sum_{n=1}^{\infty} [q_n^+(r) \cos n\phi + q_n^-(r) \sin n\phi] \quad (1.1)$$
$$\delta(r, \phi) = \delta_0(r) + 2 \sum_{n=1}^{\infty} [\delta_n^+(r) \cos n\phi + \delta_n^-(r) \sin n\phi]$$



Границочное условие контакта можно записать в виде

$$u_\eta(r, \alpha, \varphi) - u_\eta^1(r, \alpha, \varphi) = \delta(r, \varphi), \quad (r, \varphi) \in \Omega \quad (1.2)$$

где  $u_\eta$  и  $u_\eta^1$  – угловые упругие перемещения поверхностей полости и клапана соответственно. Предположим, что осевой размер клапана существенно превышает  $b-a$ . Тогда в соответствии с теорией Герца угловое перемещение  $u_\eta^1$  от давления  $q$  может быть с хорошей степенью точности аппроксимировано угловым перемещением упругого конуса (с обратным знаком) угла раствора  $2\alpha$  ( $0 \leq \eta \leq \alpha$ ), вызванного тем же нормальным давлением. Тогда, используя полученное в [3, 4] решение пространственной задачи о нормальной сосредоточенной силе, приложенной к поверхности конуса (или пространства с конической полостью), на основе условия (1.2) для определения неизвестных функций, входящих в первое разложение (1.1), получим интегральные уравнения вида ( $q_0^\pm(r) = q_0(r)$ ,  $\delta_0^\pm(r) = \delta_0(r)$ ,  $n = 0, 1, \dots$ ):

$$\int_a^b q_n^\pm(x) k_n(r, x) x dx = \frac{\pi}{2} \theta \delta_n^\pm(r) \quad (a \leq r \leq b) \quad (1.3)$$

$$k_n(r, x) = \frac{1}{\sqrt{rx}} \int_0^\infty \frac{L_n(u, \pi - \alpha) + n_* L_n(u, \alpha)}{2} \cos\left(u \ln \frac{x}{r}\right) du$$

$$n_* = \theta/\theta_1, \quad \theta = G/(1-\nu), \quad \theta_1 = G_1/(1-\nu_1)$$

Функции  $L_n(u, \alpha)$  определяются формулами (1.8) [4].

При  $n = 0$  (осевая симметрия) имеем

$$L_0(u, \alpha) = \frac{u_*^2 (P)^2 - \operatorname{ctg} \alpha P P^1 + \operatorname{ctg}^2 \alpha (P^1)^2}{u_*^2 \operatorname{ctg} \alpha (P)^2 + u_* P P^1 - [u_* + 2(1-\nu) \sin^{-2} \alpha] \operatorname{ctg} \alpha (P^1)^2} \quad (1.4)$$

$$P = P_{iu-1/2}(\cos \alpha), \quad P^1 = P_{iu-1/2}^1(\cos \alpha), \quad u_* = u^2 + 1/4$$

При  $n = 1$  (первая гармоника) получим

$$L_1(u, \alpha) = \frac{f_1(u)(P)^3 + f_2(u)(P)^2 P^1 + f_3(u)P(P^1)^2 + f_4(u)(P^1)^3}{g_1(u)(P)^3 + g_2(u)(P)^2 P^1 + g_3(u)P(P^1)^2 + g_4(u)(P^1)^3} \quad (1.5)$$

$$f_1(u) = u_*^2 \cos^2 \alpha \operatorname{ctg} \alpha$$

$$f_2(u) = -\frac{u_*^2}{2} \cos^2 \alpha + u_* \operatorname{ctg}^2 \alpha \left( \frac{1}{4(1-v)} - 1 - 2 \cos^2 \alpha \right)$$

$$f_3(u) = u_* \left( \frac{\sin 2\alpha}{4} + \operatorname{ctg} \alpha \right) + \operatorname{ctg} \alpha \left( 2 \operatorname{ctg}^2 \alpha - \frac{\cos 2\alpha}{2} - \frac{1+2 \operatorname{ctg}^2 \alpha}{4(1-v)} \right)$$

$$f_4(u) = -\frac{u_*^2}{2} \sin^2 \alpha - 1 - \cos^2 \alpha - \frac{3-2v}{4(1-v)} \operatorname{ctg}^2 \alpha$$

$$g_1(u) = -u_*^3 \cos^2 \alpha$$

$$g_2(u) = 1/4 u_*^3 \sin 2\alpha - u_*^2 [\sin 2\alpha - (5-v) \operatorname{ctg} \alpha]$$

$$g_3(u) = -1/2 u_*^2 \sin^2 \alpha - u_* [\sin^2 \alpha + 4(2-v) \operatorname{ctg}^2 \alpha]$$

$$g_4(u) = -1/4 u_*^2 \sin 2\alpha - 1/2 u_* \sin 2\alpha (1 + 2 \operatorname{ctg}^2 \alpha) + 4(1-v) \operatorname{ctg}^3 \alpha$$

При  $\alpha = \pi/2$  коническая полость разворачивается в полупространство, а при  $\pi/2 < \alpha < \pi$  решения уравнений (1.3) отвечают контактной задаче для упругого конуса и упругого кольцевого бандажа.

**2. Регулярный асимптотический метод.** Далее для определенности примем  $n_* = 1$  ( $G = G_1$ ,  $v = v_1$ ). Введем безразмерные величины и обозначения по формулам (штрихи далее опускаем):

$$\begin{aligned} \xi &= \lambda \ln \frac{r}{a} - 1, \quad x' = \lambda \ln \frac{x}{a} - 1, \quad k_n' \left( \ln \frac{x}{r} \right) = \sqrt{rx} k_n(r, x) \\ \lambda &= 2 \left( \ln \frac{b}{a} \right)^{-1}, \quad \Phi_n^\pm(\xi) = \frac{q_n^\pm(r)}{\theta} \left( \frac{r}{a} \right)^{3/2}, \quad \delta_n^\pm(\xi) = \frac{\lambda \sqrt{r} \delta_n^\pm(r)}{2a^{3/2}} \end{aligned} \quad (2.1)$$

Безразмерный параметр  $\lambda$ , очевидно, характеризует относительную удаленность клапана от вершины конической полости. В обозначениях (2.1) уравнения (1.3) запишем в виде

$$\begin{aligned} \int_{-1}^1 \Phi_n^\pm(\xi) k_n \left( \frac{\xi-x}{\lambda} \right) d\xi &= \pi \delta_n^\pm(x) \quad (|x| \leq 1) \\ k_n(t) &= \int_0^\infty \frac{K_n(u)}{u} \cos ut du, \quad K_n(u) = u \frac{L_n(u, \pi-\alpha) + L_n(u, \alpha)}{2} \end{aligned} \quad (2.2)$$

Согласно виду функции  $K(u)$  достаточно исследовать только значения  $0 < \alpha < \pi/2$ .

Для функций  $K_n(u)$  ( $n = 0, 1, \dots$ ) имеют место асимптотические разложения

$$\begin{aligned} K_n(u) &= Au + O(u^3), \quad u \rightarrow 0, \quad A = \text{const} \\ K_n(u) &= 1 + c_1 u^{-2} + O(u^{-4}), \quad u \rightarrow +\infty, \quad c_1 = \text{const} \end{aligned} \quad (2.3)$$

Можно показать, что при  $n = 0$ :

$$\begin{aligned} c_1 &= 1/8 \sin^2 \alpha + 2(1-v) \operatorname{ctg} \alpha (c - 3/4 \operatorname{ctg} \alpha) - \\ &- 37/128 \operatorname{ctg}^2 \alpha - 1/8 c \operatorname{ctg} \alpha (2 - 7/8 \cos^2 \alpha) \end{aligned} \quad (2.4)$$

а при  $n = 1$ :

$$\begin{aligned} c_2 &= -\frac{3}{8} - \frac{227}{256} \cos^2 \alpha - \operatorname{ctg}^2 \alpha \left( \frac{1231}{256} + \frac{3}{4} \cos^2 \alpha - \frac{33}{4} v \right) + \\ &+ \frac{7c}{128} \sin 2\alpha + c \left( \frac{321}{64} - 2v \right) \operatorname{ctg} \alpha \end{aligned} \quad (2.5)$$

$$c = \operatorname{ctg} \alpha \left( 1 - 2v + \frac{7}{64} \cos^2 \alpha \right) \quad (2.6)$$

При вычислениях функций  $K_n(u)$  удобно перейти от пары функций  $P, P^1$  к паре  $P, P^{-1}$ , где  $P^1 = u_* P^{-1}$  (см. соотношение 8.752.2 [8]),  $P^{\pm 1} = P_{iu-1/2}^{\pm 1}(\cos \alpha)$ . Тогда имеем

$$L_0(u, \alpha) = \frac{(P)^2 - \operatorname{ctg} \alpha P P^{-1} + u_* \operatorname{ctg}^2 \alpha (P^{-1})^2}{u_* [\operatorname{ctg} \alpha (P)^2 + P P^{-1} - (u_* + 2(1-v) \sin^{-2} \alpha) \operatorname{ctg} \alpha (P^{-1})^2]} \quad (2.7)$$

$$L_1(u, \alpha) = \frac{f_1^*(u)(P)^3 + f_2^*(u)(P)^2 P^{-1} + f_3^*(u)P(P^{-1})^2 + f_4^*(u)(P^{-1})^3}{g_1^*(u)(P)^3 + g_2^*(u)(P)^2 P^{-1} + g_3^*(u)P(P^{-1})^2 + g_4^*(u)(P^{-1})^3} \quad (2.8)$$

$$f_1^*(u) = \cos^2 \alpha \operatorname{ctg} \alpha$$

$$f_2^*(u) = -\frac{u_*}{2} \cos^2 \alpha + \operatorname{ctg}^2 \alpha \left( \frac{1}{4(1-v)} - 1 - 2 \cos^2 \alpha \right)$$

$$f_3^*(u) = f_3(u), \quad f_4^*(u) = u_* f_4(u)$$

$$g_1^*(u) = -u_* \cos^2 \alpha$$

$$g_2^*(u) = \frac{u_*^2}{4} \sin 2\alpha - u_* [\sin 2\alpha - (5-v) \operatorname{ctg} \alpha]$$

$$g_3^*(u) = g_3(u), \quad g_4^*(u) = u_* g_4(u)$$

Для вычисления пары  $P, P^{-1}$  используем представления

$$P_{iu-1/2}(\cos \alpha) = F\left(\frac{1}{2} - iu, \frac{1}{2} + iu, 1; \sin^2 \frac{\alpha}{2}\right) \quad (2.9)$$

$$P_{iu-1/2}^{-1}(\cos \alpha) = \operatorname{tg} \frac{\alpha}{2} F\left(\frac{1}{2} - iu, \frac{1}{2} + iu, 2; \sin^2 \frac{\alpha}{2}\right)$$

содержащие гипергеометрическую функцию  $F$  (см. формулу 8.704 [8]). При тестировании вычислений полезны таблицы [9].

На основании свойств (2.3) можно попробовать использовать аппроксимацию

$$K_n(u) \approx \operatorname{th} Au \quad (2.10)$$

и найти затем замкнутое решение уравнения (2.2) [3]. Для случая  $\delta_n^\pm(x) = \delta$  получим

$$\Phi_n^\pm(x) = \frac{\pi\delta}{2A\lambda K(e)\sqrt{e}} \left[ 2 \left( \operatorname{ch} \frac{\pi}{A\lambda} - \operatorname{ch} \frac{\pi}{A\lambda} \right) \right]^{-1/2}, \quad e = \exp\left(-\frac{\pi}{A\lambda}\right) \quad (2.11)$$

Для интегральной характеристики решения далее найдем

$$Q_n^\pm = \int_{-1}^1 \Phi_n^\pm(x) dx = \frac{\delta K'(e)}{K(e)}, \quad K'(e) = K(\sqrt{1-e^2}) \quad (2.12)$$

где  $K(e)$  – полный эллиптический интеграл первого рода.

Относительная погрешность решения (2.11) не превышает относительную погрешность  $\theta_*$  аппроксимации (2.10). Например, при  $n=0$  и  $\alpha=3\pi/8$  имеем  $\theta_* = 4.6\%$  (здесь и далее в расчетах полагаем  $v=0.3$ ). Однако эта погрешность будет удовлетворительной не для всех  $\alpha$ . Так, для  $n=1$  и  $\alpha=3\pi/8$  имеем  $\theta_* = 13.5\%$ .

Применим для решения уравнения (2.2) регулярный асимптотический метод, эффективный при достаточно больших значения  $\lambda$ , ограничиваясь при расчетах случаями  $n=0$  и  $n=1$ . С учетом формул (2.3) ядро интегрального уравнения (2.2) можно представить в форме

$$k_n(t) = \ln|t| F_1(t) + F_2(t)$$

$$F_1(t) = \sum_{m=0}^{\infty} b_m t^{2m}, \quad F_2(t) = \sum_{m=0}^{\infty} a_m t^{2m} \quad (2.13)$$

Асимптотическое решение уравнения (2.2) имеет вид ряда по степеням  $\lambda^{-2k} \ln^m \lambda$  [2, 3]. Ограничиваюсь точностью  $O(\lambda^{-4} \ln^2 \lambda)$ , при  $\delta_n^\pm(x) = \delta$  имеем

$$\Phi_n^\pm(x) = \frac{Q_n^\pm}{\pi\sqrt{1-x^2}} \left[ 1 + \left( a_1 + \frac{3}{2}b_1 - b_1 \ln 2\lambda \right) (1-2x^2) \frac{1}{\lambda^2} + O\left(\frac{\ln^2 \lambda}{\lambda^4}\right) \right] \quad (2.14)$$

Далее получим

$$Q_n^\pm = \pi\delta \left[ \ln 2\lambda + a_0 + (a_1 + b_1 - b_1 \ln 2\lambda) \frac{1}{\lambda^2} + O\left(\frac{\ln^2 \lambda}{\lambda^4}\right) \right]^{-1} \quad (2.15)$$

В табл. 1 даны значения нескольких постоянных, входящих в разложения (2.13) и в асимптотическое решение (2.14), (2.15).

**3. Сингулярный асимптотический метод.** Решение уравнения (2.2), эффективное при достаточно малых значениях  $\lambda$ , получим при помощи сингулярного асимптотического метода [2, 3], связанного с методом Винера–Хопфа. Здесь для функций  $K_n(u)$  используем аппроксимацию

$$K_n(u) \approx \frac{\sqrt{u^2 + B^2}}{u^2 + C^2} \frac{u^2 + D^2}{u^2 + E^2} \cdot \left( \frac{BD^2}{C^2 E^2} - A \right) \quad (3.1)$$

Таблица 1

| $\alpha$ | $a_0 (n=0)$ | $a_1 (n=0)$ | $b_1 (n=0)$ | $a_0 (n=1)$ | $a_1 (n=1)$ | $b_1 (n=1)$ |
|----------|-------------|-------------|-------------|-------------|-------------|-------------|
| $\pi/8$  | -0.914      | 2.816       | -2.106      | -15.669     | -4.085      | -2.861      |
| $\pi/4$  | -1.039      | 0.627       | -0.364      | 0.957       | 0.286       | -0.747      |
| $3\pi/8$ | 1.554       | 0.0275      | -0.0199     | 0.112       | 0.304       | -0.301      |

Таблица 2

| $\alpha$       | $A$   | $B$   | $C$   | $D$   | $E$   | $\theta_*, \%$ |
|----------------|-------|-------|-------|-------|-------|----------------|
| $\pi/8 (n=0)$  | 0.882 | 0.682 | 0.471 | 1.871 | 3.493 | 3.5            |
| $\pi/4 (n=0)$  | 2.059 | 0.175 | 0.241 | 1.951 | 2.357 | 2              |
| $3\pi/8 (n=0)$ | 3.543 | 0.699 | 0.444 | 1     | 1     | 3              |
| $\pi/4 (n=1)$  | 2.771 | 0.859 | 0.499 | 2.815 | 3.133 | 1              |
| $3\pi/8 (n=1)$ | 1.066 | 0.194 | 0.251 | 0.491 | 0.834 | 1              |

Значения постоянных, входящих в аппроксимацию (3.1), и относительная погрешность этой аппроксимации  $\theta_*$  даны в табл. 2.

Для случая  $\delta_n^\pm(x) = \delta$  при аппроксимации (3.1) асимптотическое решение уравнения (2.2) при малых  $\lambda$  можно записать в аддитивной форме

$$\begin{aligned} \varphi_n^\pm(x) &= \frac{\delta}{\lambda} \left[ \zeta^0\left(\frac{1-x}{\lambda}\right) + \zeta^0\left(\frac{1+x}{\lambda}\right) - \frac{1}{A} \right] \\ \zeta^0(t) &= \frac{1}{A} \Phi(\sqrt{Bt}) + \frac{\exp(-Bt)}{\sqrt{\pi At}} - \frac{(C-D)(E-D)}{D\sqrt{A(B-D)}} \exp(-Dt) \Phi(\sqrt{(B-D)t}) \end{aligned} \quad (3.2)$$

При  $B < D$  в (3.2) следует заменить интеграл вероятности  $\Phi(x)$  на функцию

$$-i\Phi(ix) = \frac{2}{\sqrt{\pi}} \int_0^x \exp(u^2) du \quad (3.3)$$

Для вычисления интегральных характеристик решения (сила, момент) более подходящей является асимптотически эквивалентная (3.2) мультипликативная форма решения

$$\varphi_n^\pm(x) = \frac{\delta A}{\lambda} \zeta^0\left(\frac{1-x}{\lambda}\right) \zeta^0\left(\frac{1+x}{\lambda}\right) \quad (3.4)$$

Как показывают вычисления, в определенном диапазоне изменения параметра  $\lambda$ , зависящем от угла конусности  $2\alpha$ , наблюдается смыкание асимптотических решений, ректуглярного и сингулярного. Результаты вычислений значений  $\varphi(x) = \varphi_0^\pm(x)$  и  $Q_0 = Q_0^\pm$  для осесимметричного случая  $n = 0$ ,  $\delta_0^\pm(x) = \delta$  (конический клапан с плоским основанием),  $2\alpha = 3\pi/4$  ( $E = D$ ) приводятся в табл. 3. Согласование асимптотических решений наблюдается здесь при  $\lambda \approx 1$ . При малых  $\lambda$  вдавливающая клапан сила на основе решения (3.4) рассчитана по формуле

$$Q_0 = \int_{-1}^1 \varphi(x) dx = \delta \left[ \frac{2}{A\lambda} + \frac{1}{\sqrt{AB}} \left( 2 - \frac{1}{\sqrt{AB}} \right) + \left( 1 - \frac{1}{\sqrt{AB}} \right)^2 \exp\left(-\frac{2B}{\lambda}\right) \right] \quad (3.5)$$

Таблица 3

| $\lambda$               | 1/4  | 1/2   | 1     | 2     | 3     | 4     |
|-------------------------|------|-------|-------|-------|-------|-------|
| $\phi(0)/\delta$ (2.11) | 1.16 | 0.675 | 0.458 | 0.347 | 0.304 | 0.279 |
| $\phi(0)/\delta$ (2.14) | —    | —     | 0.446 | 0.341 | 0.300 | 0.277 |
| $\phi(0)/\delta$ (3.2)  | 1.20 | 0.720 | 0.398 | —     | —     | —     |
| $Q_0/\delta$ (2.12)     | 3.14 | 2.01  | 1.42  | 1.08  | 0.952 | 0.876 |
| $Q_0/\delta$ (2.15)     | —    | —     | 1.38  | 1.07  | 0.938 | 0.864 |
| $Q_0/\delta$ (3.5)      | 3.13 | 2.00  | 1.46  | —     | —     | —     |

Предположим, что граничная точка  $r = b$  (размерная величина) зоны контакта фиксирована. Тогда, чем меньше значение  $r = a$ , т.е. чем ближе клапан к вершине конической полости, тем меньшее значение  $\lambda$ , поскольку, согласно формулам (2.1),  $b/a = \exp(2/\lambda)$ . Например, если  $b = 1$  см, то  $a = 0.607$  см при  $\lambda = 4$  и  $a = 3.35 \cdot 10^{-4}$  см при  $\lambda = 1/4$ . Так что при  $\lambda = 1/4$  клапан очень близок к вершине полости. Как видно из табл. 3, при приближении области контакта к вершине конуса значительно возрастает концентрация контактных напряжений и вдавливающая клапан сила.

Полученные выше решения локально некорректны в окрестности граничных точек  $x = \pm 1$  зоны контакта, где может быть построена особая асимптотика, учитывающая упругость обоих контактирующих тел [10].

Работа выполнена при финансовой поддержке РФФИ (проект 05-01-00002-а; 04-01-00119-а).

#### СПИСОК ЛИТЕРАТУРЫ

- Гринченко В.Т., Улитко А.Ф. Равновесие упругих тел канонической формы. Киев: Наук. думка, 1985. 280 с.
- Александров В.М., Коваленко Е.В. Задачи механики сплошных сред со смешанными граничными условиями. М.: Наука, 1986. 329 с.
- Александров В.М., Пожарский Д.А. Неклассические пространственные задачи механики контактных взаимодействий упругих тел. М.: Факториал, 1998. 288 с.
- Пожарский Д.А. О пространственной контактной задаче для упругого конуса // Изв. РАН. МТТ. 1997. № 4. С. 51–60.
- Александров В.М., Пожарский Д.А. О пространственной контактной задаче для упругого конуса с неизвестной областью контакта // Изв. РАН. МТТ. 1998. № 2. С. 36–41.
- Пожарский Д.А. Об особенностях контактных давлений в задаче о периодической системе клиновидных штампов на конусе // Докл. РАН. 1998. Т. 361. № 1. С. 54–57.
- Пожарский Д.А., Чебаков М.И. Об особенностях контактных напряжений в задаче о клиновидном штампе на упругом конусе // Изв. РАН. МТТ. 1998. № 5. С. 72–77.
- Градштейн И.С., Рыжик И.М. Таблицы интегралов, сумм, рядов и произведений. М.: Наука, 1971. 1108 с.
- Журина М.И., Кармазина Л.Н. Таблицы и формулы для сферических функций  $P_{-1/2+it}^m(z)$ . М.: ВЦ АН СССР, 1962. 57 с.
- Theocaris P.S., Gdoutos E.E. Stress singularities at vertices of composite plates with smooth or rough interfaces // Arch. Mech. 1976. V. 28. № 4. P. 693–704.

Москва

Поступила в редакцию

21.04.2004